

## (1-x)Al<sub>2</sub>O<sub>3</sub> - xLa<sub>2</sub>O<sub>3</sub>계 세라믹스의 소결 및 유전특성

### Sintering and Dielectric Characteristics of (1-x)Al<sub>2</sub>O<sub>3</sub>-xLa<sub>2</sub>O<sub>3</sub> Ceramics

최상수, 여기호, 김강언, 정수태  
(Sang-Soo Chae, Ki-Ho Yeo, Kang-Eun Kim, Su-Tae Chung)

#### Abstract

The sintering and dielectric characteristics of (1-x)Al<sub>2</sub>O<sub>3</sub> - xLa<sub>2</sub>O<sub>3</sub> ceramics ( $x=0.2, 0.4, 0.5, 0.6, 0.8, 1.0$ ) were investigated. The sample of  $x=0.6$  composition showed a largest density( $6.5\text{g/cm}^3$ ) in the all samples and its grain were very uniform. The dielectric constant of the samples linearly increased from 9 to 17 up to  $x=0.6$  with a increasing of  $x$ . The temperature coefficient of resonance frequency for the samples showed a positive value at  $x=0.2$  and a negative value at  $x>0.4$ .

**Key Words :** LaAlO<sub>3</sub>, Dielectric constant

#### 1. 서 론

위성 및 이동통신의 급진적인 발달에 따라 이용자 수가 급격히 증가하고 있다. 무선통신에 사용되는 이동용 수신기 안테나와 GPS용 안테나 재료에는 전파의 지향성 문제로 유전율이 낮고, 유전손실이 적은 유전체를 많이 사용한다<sup>[1]</sup>. 많은 유전체 공진자 재료 중에서 LaAlO<sub>3</sub>는 고주파 영역에서 낮은 유전율과 저 손실을 가진 물질이므로, 마이크로파 영역의 공진자 및 재료로 많이 사용되고 있다.<sup>[2,3,4,5]</sup> 본 연구에서는 Al<sub>2</sub>O<sub>3</sub>와 La<sub>2</sub>O<sub>3</sub> 조성비에 따른 세라믹을 제조하고, 이를 유전체의 소결 밀도 특성과 유전율 및 온도특성에 대하여 조사하였다.

#### 2. 실험 방법

본 실험에 사용된 출발원료는 La<sub>2</sub>O<sub>3</sub> (99.99%, Yakuri chemical)와 Al<sub>2</sub>O<sub>3</sub> (99.8%, Junsei chemical)

를 사용하였다. 먼저 La<sub>2</sub>O<sub>3</sub>와 Al<sub>2</sub>O<sub>3</sub>를 조성비 ( $x=0.2, 0.4, 0.5, 0.6, 0.8, 1$ )에 따라 청량하여 유발에서 30분 동안 혼합하였다. 혼합된 시료는 Planetary ball mill (Pulverisett6, FRITSCH)을 이용해 5시간 동안 분쇄하였다. 이때 250ml 용량의 Engineering Plastic 용기에 시료와 볼(ZrO<sub>2</sub> 10mm-60개, 3mm-30개)을 담아서 450rpm의 회전 속도로 분쇄하였다. 분쇄 시 용기 내부의 과다한 온도 상승 방지를 위해 50분 분쇄 후 10분씩 쉬었다. 분쇄된 시료는 1000°C의 온도에서 각각 4시간 동안 열처리하였다. 열처리한 시료는 다시 위의 분쇄공정으로 3시간 동안 분쇄하였다. 분말에 4wt%의 결합제(PVA)를 혼합하여 그레뉼 상태로 만들고, 이것을 직경 10mm의 성형 틀에 넣고 1000kg/cm<sup>2</sup>의 압력으로 성형하였다. 소결은 1500, 1600°C의 온도에서 4시간 동안 행하였다. 결정상은 X-선 회절기(XRD)로 분석하였고, SEM(S-2700, HITACHI)을 통해 소결체의 표면미세구조를 관찰하였다. 이때 소결 온도보다 50°C 낮은 온도에서 열적으로 에칭하였다. 유전특성을 측정하기 위하여 두께를 1mm로 연마한 후 Ag 전극을 도포하였다. LCZ 메터(HP4192A)로써 시료의 정전용량을 측정하여 비유

부경대학교 공과대학 전자공학과  
( 608-737 부산광역시 남구 대연 3동 599-1  
TEL: 051-620-6451  
E-mail : meeyae@chollian.net)

전율을 계산하였으며, 공진 주파수의 온도 의존성 ( $30^{\circ}\text{C} \sim 100^{\circ}\text{C}$ )을 조사하였다.

### 3. 결과 및 고찰

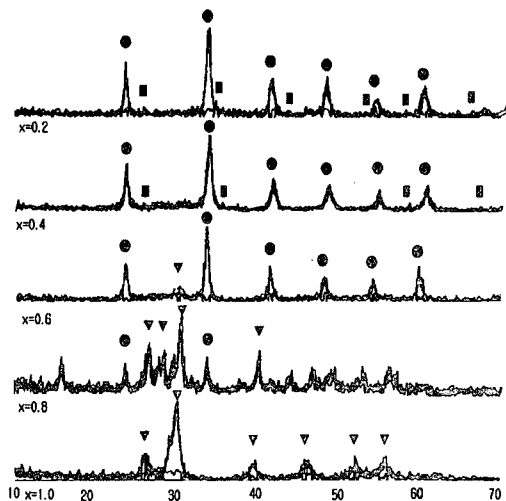


Fig. 1. XRD patterns of  $(1-x)\text{Al}_2\text{O}_3-x\text{La}_2\text{O}_3$  ceramics.  
(● :  $\text{LaAlO}_3$ ), (▽ :  $\text{La}_2\text{O}_3$ ), (■ :  $\text{Al}_2\text{O}_3$ )

그림1은 시료를  $1500^{\circ}\text{C}$ 에서 소결한 시료의 결정상의 형성을 XRD로써 관찰한 것이다.  $x=1$ 의 시료는  $\text{La}_2\text{O}_3$ 의 단일상 피크를 나타내고 있으며,  $x=0.2$ 의 시료에서는  $\text{Al}_2\text{O}_3$ 와  $\text{La}_2\text{O}_3$ 의 양쪽 피크를 보이고 있다.  $x=0.6$  조성부터  $\text{LaAlO}_3$ 의 피크가 나타남을 알 수 있다.  $x=0.4$ 에서  $x=0.2$ 로  $\text{Al}_2\text{O}_3$ 의 양이 증가함에도 불구하고  $\text{LaAlO}_3$ 의 피크가 매우 크게 나타난 반면에  $\text{Al}_2\text{O}_3$ 의 피크는 매우 작게 관찰되었다.

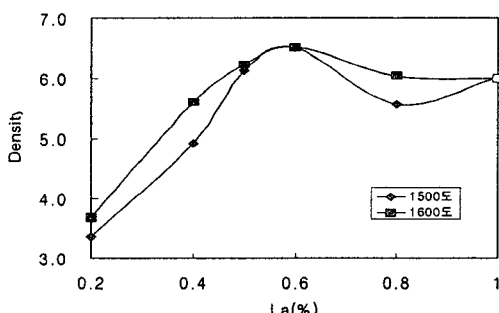


Fig. 2. Sintered density of  $(1-x)\text{Al}_2\text{O}_3 - x\text{La}_2\text{O}_3$  ceramics

그림2는 각 시료의 소결 온도에 따른 밀도의 변화를 나타내었다.  $1600^{\circ}\text{C}$ 에서 소결한 시료의 소결 밀도가  $1500^{\circ}\text{C}$ 에 비하여 전반적으로 증가함을 알 수 있다. 그러나  $x=0.6$ 의 조성 밀도를 보면  $1600^{\circ}\text{C}$ 에서의 밀도와  $1500^{\circ}\text{C}$ 의 소결 밀도가 거의 비슷함을 알 수 있다.  $1500^{\circ}\text{C}$ 에서 소결 밀도가 약  $6.503 \text{ g/cm}^3$  였다. ( $1600^{\circ}\text{C}$ 의 밀도는 약  $6.511 \text{ g/cm}^3$ )이였다.

그리고  $x=0.8$ 의 조성에서 밀도가 낮은 것은  $\text{La}_2\text{O}_3$ 가 공기 중에서 수분과 반응을 하여  $\text{La}(\text{OH})_3$ 로 변화하므로 소결이 잘되지 않은 것으로 추정된다.

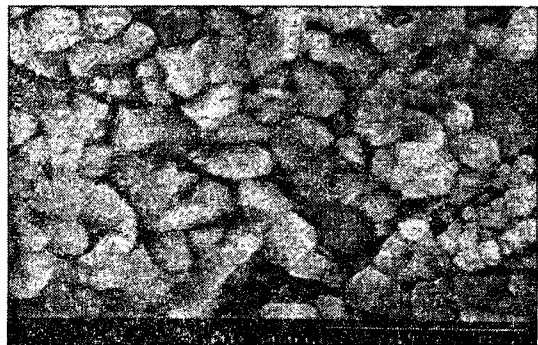


Fig. 3. SEM micrographs of  $0.4\text{Al}_2\text{O}_3-0.6\text{La}_2\text{O}_3$  ceramics by sintered at  $1500^{\circ}\text{C}$

그림3은  $1000^{\circ}\text{C}$ 에서 열처리한  $x=0.6$  조성 시료를  $1500^{\circ}\text{C}$ 에서 소결한 시료의 표면미세구조를 관찰한 결과이다. 입자들의 크기는  $2\text{-}3 \mu\text{m}$  정도이고, 고르게 혼합되어 있음을 관찰 할 수 있다. 각각의 입자들의 고른 분포로 인하여 밀도가 높음을 추정 가능하다.



Fig. 4. SEM micrographs of  $0.8\text{Al}_2\text{O}_3-0.2\text{La}_2\text{O}_3$  ceramics by sintered at  $1500^{\circ}\text{C}$

그림4는  $x=0.2$  조성시료의 표면미세 구조 사진이다. 입자간의 기공이 많이 보이며, 입자들의 고른 분포를 하지 못하여 밀도가 낮음으로 추정된다. 이것은  $\text{La}_2\text{O}_3$ 와  $\text{Al}_2\text{O}_3$ 가 혼재해 있기 때문이다. 즉 결정상태가 다른 혼합물에 의한 구조적 차이 때문이라고 생각된다. 그림2에서 보듯이 1600°C에서는 밀도가 다소 증가를 하였으나, 이것은 소결 온도의 영향으로 추정된다.

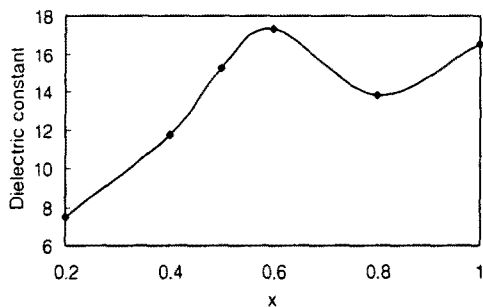


Fig. 5. Dielectric constant of sintered at 1500°C samples

그림5는 1500°C에서 열처리한 시료의 각 조성비에 따른 시료들의 비유전율을 1MHz의 주파수에서 측정한 것이다.  $x=0.6$  조성에서 유전율이 가장 높게 나타났으며(17.31),  $x=0.8$  시료에서는 유전율이 낮았다. 이것은  $\text{La}_2\text{O}_3$ 가 공기 중에서 수분과 반응을 하여, 소결 밀도가 낮아진 것으로 생각된다. 실제로 실험도중에 소결된 시료들이 공기 중에서 수분과 반응하여 시료가 팽창을 하고 시료가 분해되는 것을 관찰 할 수 있었다.  $x=0.2$  조성에서는 그림4의 SEM 사진처럼 입자 사이의 기공이 많아, 밀도가 낮고 유전율도 낮은 것으로 추정된다.

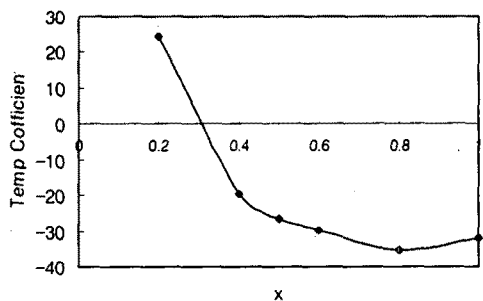


Fig. 6. Temperature coefficient of resonant frequency  $(1-x)\text{Al}_2\text{O}_3-x\text{La}_2\text{O}_3$  ceramics

그림6에서는 각 시료들을 20°C~100°C의 온도범위에서 공진 주파수의 온도의존성을 나타낸 것이다. 시료의 온도의존성( $\tau_f$ )은 식(1)의 방정식으로 구할 수 있다.

$$\tau_f = -(\tau_c / 2) + \alpha_L \quad \dots \quad (1)$$

식(1)에서  $\alpha_L = 10 \text{ ppm}/\text{°C}$ 으로 하고, 측정에서 구한  $\tau_c$ 를 식에 대입하여 공진 주파수의 온도의존성  $\tau_f$ 를 계산하였다.  $x=0.2$ 의 조성에서만  $+24.04 \text{ ppm}/\text{°C}$ 의 값을 나타내고, 기타 조성에서는  $-19.6 \text{ ppm}/\text{°C} \sim -32.2 \text{ ppm}/\text{°C}$  범위로 나타남을 알 수 있다.  $x=0.4$ 의 조성에서  $-19.4 \text{ ppm}/\text{°C}$  정도를 보였고,  $x=0.8$  조성에서  $-35.3 \text{ ppm}/\text{°C}$ 으로 가장 크게 나타났다. 그러므로  $x=0.35$  정도의 조성에서 공진 주파수의 온도의존성  $\tau_f = 0$ 이 될 것으로 추정되며, 유전율이 약 10 정도가 되어 GPS 안테나 등의 재료로 적합하다고 생각된다.

#### 4. 결 론

$(1-x)\text{Al}_2\text{O}_3 - x\text{La}_2\text{O}_3$ 의 조성으로 출발로 하여 세라믹스를 합성한 결과는 다음과 같다.  $x=0.6$ 의 조성에서 소결 밀도가  $(6.503 \text{ g/cm}^3)$  가장 높고, 입자들의 분포가 균일하였다. 그리고 유전율도 가장 크게(17.31) 나타났다. 공진 주파수의 온도계수  $\tau_f = 0$ 이 되는 조성은  $x=0.35$ 로 추정되며, 이때 유전율이 10 정도로 GPS 안테나 등의 재료로 적합하다고 생각된다.

#### 참고 문헌

- [1] M.T. Allison and P. Daly, International Journal of Satellite Communication, Vol. 4, pp. 19-33, (1986).
- [2] M.L. Keith and R. Roy, Am. Mineral., Vol. 39, pp. 1~23, (1954).
- [3] S.J. Schneider, R.S. Roth, and J.L. Waring, J. Res. Natl. Bur. Stand. A, Vol. 65A, pp. 345~54, (1961).
- [4] G.Y. Sung, K.Y. Kang and S-C. Park, J. Am. Ceram. Soc, Vol. 74(2), pp. 437-439, (1991).
- [5] Jong H. MOON, Hyun S. PARK, Kyung T. LEE, et al. J. Appl. Phys. Vol. 36, pp. 6814-6817, (1997).